

2次元量子ウォーク模型

渡部 恭平, 香取 眞理

中大理工

日本物理学会 2008 年春季大会

2008 年 3 月 23 日

近畿大学 (東大阪キャンパス, 大阪府東大阪市)

目次

§1 2次元量子ウォーク模型の導入

§2 一般化されたグローヴァーウォーク模型

§3 結果

3.1 弱収束の定理

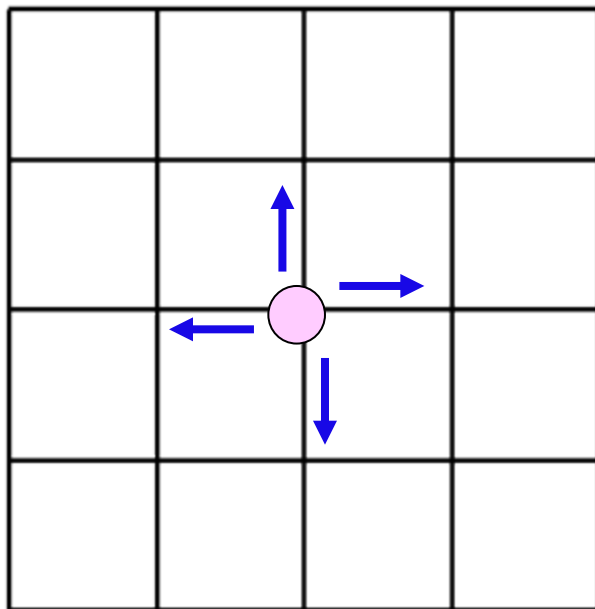
3.2 極限分布の対称性

3.3 計算機シミュレーションとの比較

3.4 原点近傍での局在確率

§4 今後の展望

§1 2次元量子ウォーク模型の導入



- 量子ウォーカーの初期量子ビット

$${}^t\phi_0 = (q_1, q_2, q_3, q_4)$$

$$q_1, q_2, q_3, q_4 \in \mathbf{C}, |q_1|^2 + |q_2|^2 + |q_3|^2 + |q_4|^2 = 1$$

- 時間発展行列 V (ユニタリ行列)

$$V = S \times A$$

- シフト行列: S
- 量子コイン: $A = (A_{jk})_{j,k=1}^4 \in U(4)$

- 量子ウォークの1ステップ

$$\Psi(x, y, t+1) = V\Psi(x, y, t)$$

$$= \begin{pmatrix} A_{11}\Psi_1(x+1, y, t) + A_{12}\Psi_2(x+1, y, t) + A_{13}\Psi_3(x+1, y, t) + A_{14}\Psi_4(x+1, y, t) \\ A_{21}\Psi_1(x-1, y, t) + A_{22}\Psi_2(x-1, y, t) + A_{23}\Psi_3(x-1, y, t) + A_{24}\Psi_4(x-1, y, t) \\ A_{31}\Psi_1(x, y+1, t) + A_{32}\Psi_2(x, y+1, t) + A_{33}\Psi_3(x, y+1, t) + A_{34}\Psi_4(x, y+1, t) \\ A_{41}\Psi_1(x, y-1, t) + A_{42}\Psi_2(x, y-1, t) + A_{43}\Psi_3(x, y-1, t) + A_{44}\Psi_4(x, y-1, t) \end{pmatrix}$$

■ フーリエ変換

$$\Psi(x, y, t) = \int_{-\pi}^{\pi} \frac{dk_x}{2\pi} \int_{-\pi}^{\pi} \frac{dk_y}{2\pi} e^{i(k_x x + k_y y)} \hat{\Psi}(k_x, k_y, t)$$

$$\hat{\Psi}(k_x, k_y, t) = \sum_{(x, y) \in Z^2} \Psi(x, y, t) e^{-i(k_x x + k_y y)}$$

■ 時刻 t で位置 (x, y) にいる量子ウォーカーの状態 ($t = 0, 1, 2, \dots$)

$$\begin{aligned} \Psi(x, y, t) &= \int_{-\pi}^{\pi} \frac{dk_x}{2\pi} \int_{-\pi}^{\pi} \frac{dk_y}{2\pi} e^{i(k_x x + k_y y)} (V(k_x, k_y))^t \phi_0 \\ &= \int_{-\pi}^{\pi} \frac{dk_x}{2\pi} \int_{-\pi}^{\pi} \frac{dk_y}{2\pi} e^{i(k_x x + k_y y)} \left\{ \begin{pmatrix} e^{ik_x} & 0 & 0 & 0 \\ 0 & e^{-ik_x} & 0 & 0 \\ 0 & 0 & e^{ik_y} & 0 \\ 0 & 0 & 0 & e^{-ik_y} \end{pmatrix} A \right\}^t \begin{pmatrix} q_1 \\ q_2 \\ q_3 \\ q_4 \end{pmatrix} \end{aligned}$$

しかし, ユニタリ行列の固有値の絶対値は $1(|\lambda| = 1)$ なので
波動関数 $\Psi(x, y, t)$ 及び確率密度 $P(x, y, t)$ は $t \rightarrow \infty$ の長時間極限
をとっても収束しないが...



量子ウォークの 擬速度 $\frac{X_t}{t}, \frac{Y_t}{t}$ の任意の結合モーメントは
 $t \rightarrow \infty$ の長時間極限において収束する

$$\lim_{t \rightarrow \infty} \left\langle \left(\frac{X_t}{t} \right)^\alpha \left(\frac{Y_t}{t} \right)^\beta \right\rangle = \int_{-\infty}^{\infty} dv_x \int_{-\infty}^{\infty} dv_y v_x^\alpha v_y^\beta \nu(v_x, v_y)$$

擬速度の極限分布

但し $\alpha, \beta = 0, 1, 2, \dots$

$X_t, Y_t =$ 時刻 t における量子ウォーカーの位置の x 座標, y 座標

§2 一般化されたグローヴァーウォーク模型

量子コイン A \longrightarrow $A = \begin{pmatrix} -p & q & \sqrt{pq} & \sqrt{pq} \\ q & -p & \sqrt{pq} & \sqrt{pq} \\ \sqrt{pq} & \sqrt{pq} & -q & p \\ \sqrt{pq} & \sqrt{pq} & p & -q \end{pmatrix}$

N. Inui, Y. Konishi, and N. Konno,
Phys. Rev. A 69, 052323 (2004)

を用いる。但し、 $q = 1 - p$ であり $0 < p < 1$ である。この行列は $p = \frac{1}{2}$ の時、グローヴァー行列を含む模型となっている。これより

時間発展行列 $V(k_x, k_y)$

$\longrightarrow V(k_x, k_y) = \begin{pmatrix} -pe^{ik_x} & qe^{ik_x} & \sqrt{pqe^{ik_x}} & \sqrt{pqe^{ik_x}} \\ qe^{-ik_x} & -pe^{-ik_x} & \sqrt{pqe^{-ik_x}} & \sqrt{pqe^{-ik_x}} \\ \sqrt{pqe^{ik_y}} & \sqrt{pqe^{ik_y}} & -qe^{ik_y} & pe^{ik_y} \\ \sqrt{pqe^{-ik_y}} & \sqrt{pqe^{-ik_y}} & pe^{-ik_y} & -qe^{-ik_y} \end{pmatrix}$

\longrightarrow Grimmett らにより提案された方法を用いて解析
G. Grimmett, S. Janson, and P. F. Scudo,
Phys. Rev. E 69, 026119 (2004)

§3 結果

3.1 弱収束の定理

長時間極限で擬速度の結合モーメント $\langle (\frac{X_t}{t})^\alpha (\frac{Y_t}{t})^\beta \rangle (\alpha, \beta = 0, 1, 2, \dots)$ は収束して

$$\lim_{t \rightarrow \infty} \left\langle \left(\frac{X_t}{t} \right)^\alpha \left(\frac{Y_t}{t} \right)^\beta \right\rangle = \int_{-\infty}^{\infty} dv_x \int_{-\infty}^{\infty} dv_y v_x^\alpha v_y^\beta \nu(v_x, v_y)$$

で与えられ、極限分布 $\nu(v_x, v_y)$ は

$$\nu(v_x, v_y) = \mu_p(v_x, v_y) \mathcal{M}(v_x, v_y) + \Delta \delta(v_x) \delta(v_y)$$

密度関数の基礎となる関数

初期量子ビット
依存性をもった関数

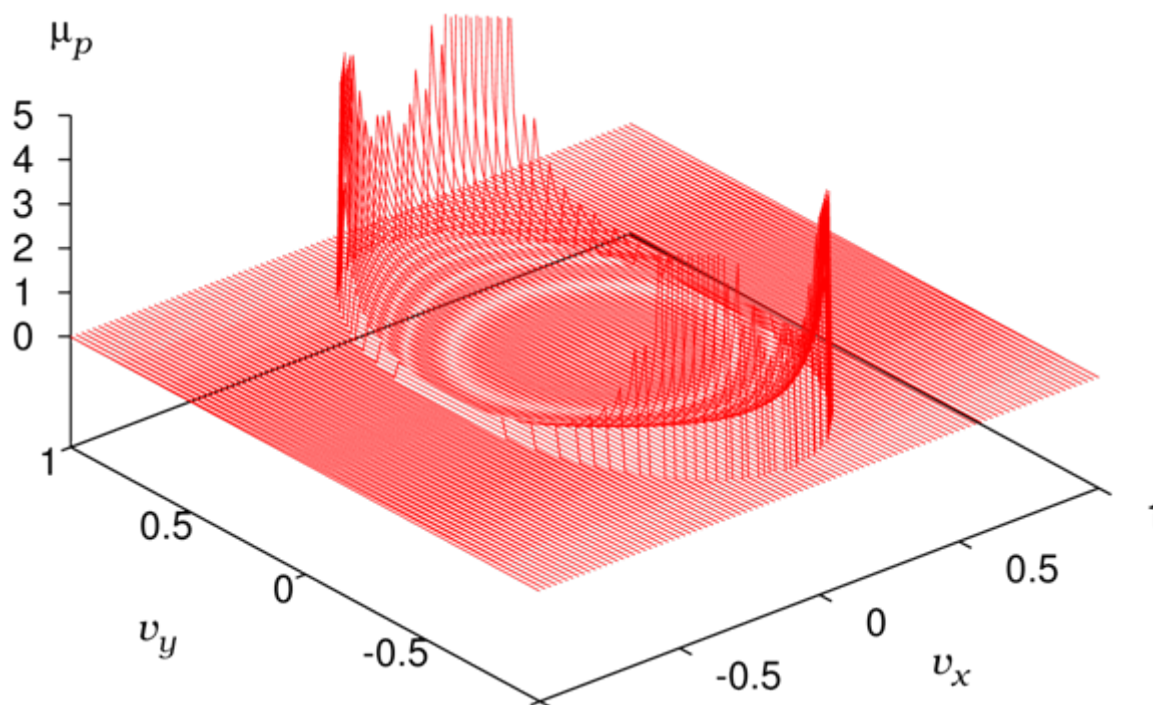
重み Δ の
デルタ関数

■ K. Watabe, N. Kobayashi, M. Katori, and N. Konno, Limit distributions of two-dimensional quantum walks, e-print quant-ph/0802.2749.

■ 密度関数の基礎となる関数

$$\mu_p(v_x, v_y) = \frac{2}{\pi^2(v_x + v_y + 1)(v_x - v_y + 1)(v_x + v_y - 1)(v_x - v_y - 1)} \mathbf{1}_{\left\{\frac{v_x^2}{p} + \frac{v_y^2}{q} < 1\right\}}$$

- $p = \frac{1}{4}$ における $\mu_p(v_x, v_y)$



■ 重み関数 $\mathcal{M}(v_x, v_y)$

$$\mathcal{M}(v_x, v_y) = \mathcal{M}_1 + \mathcal{M}_2 v_x + \mathcal{M}_3 v_y + \mathcal{M}_4 v_x^2 + \mathcal{M}_5 v_y^2 + \mathcal{M}_6 v_x v_y$$

ただし, $\mathcal{M}_n (1 \leq n \leq 6)$ は以下で与えられる実対称行列 \mathbf{M}_n を用いて

$$\mathcal{M}_n = \phi_0^\dagger \mathbf{M}_n \phi_0$$

で与えられる.

$$\begin{aligned} \mathbf{M}_1 &= \frac{1}{2} \begin{pmatrix} 1 & 1 & 0 & 0 \\ 1 & 1 & 0 & 0 \\ 0 & 0 & 1 & 1 \\ 0 & 0 & 1 & 1 \end{pmatrix}, & \mathbf{M}_2 &= -\frac{1}{2\sqrt{pq}} \begin{pmatrix} 2\sqrt{pq} & 0 & -q & -q \\ 0 & -2\sqrt{pq} & q & q \\ -q & q & 0 & 0 \\ -q & q & 0 & 0 \end{pmatrix} \\ \mathbf{M}_3 &= -\frac{1}{2\sqrt{pq}} \begin{pmatrix} 0 & 0 & -p & p \\ 0 & 0 & -p & p \\ -p & -p & 2\sqrt{pq} & 0 \\ p & p & 0 & -2\sqrt{pq} \end{pmatrix}, & \mathbf{M}_4 &= -\frac{1}{2} \begin{pmatrix} -1 & \frac{1+q}{p} & \frac{q}{\sqrt{pq}} & \frac{q}{\sqrt{pq}} \\ \frac{1+q}{p} & -1 & \frac{q}{\sqrt{pq}} & \frac{q}{\sqrt{pq}} \\ \frac{q}{\sqrt{pq}} & \frac{q}{\sqrt{pq}} & 1 & 1 \\ \frac{q}{\sqrt{pq}} & \frac{q}{\sqrt{pq}} & 1 & 1 \end{pmatrix} \\ \mathbf{M}_5 &= -\frac{1}{2} \begin{pmatrix} 1 & 1 & \frac{p}{\sqrt{pq}} & \frac{p}{\sqrt{pq}} \\ 1 & 1 & \frac{p}{\sqrt{pq}} & \frac{p}{\sqrt{pq}} \\ \frac{p}{\sqrt{pq}} & \frac{p}{\sqrt{pq}} & -1 & \frac{1+p}{q} \\ \frac{p}{\sqrt{pq}} & \frac{p}{\sqrt{pq}} & \frac{1+p}{q} & -1 \end{pmatrix}, & \mathbf{M}_6 &= \frac{1}{2\sqrt{pq}} \begin{pmatrix} 0 & 0 & -1 & 1 \\ 0 & 0 & 1 & -1 \\ -1 & 1 & 0 & 0 \\ 1 & -1 & 0 & 0 \end{pmatrix} \end{aligned}$$

3.2 極限分布の対称性

重み関数

$$\mathcal{M}(v_x, v_y) = \mathcal{M}_1 + \mathcal{M}_2 v_x + \mathcal{M}_3 v_y + \mathcal{M}_4 v_x^2 + \mathcal{M}_5 v_y^2 + \mathcal{M}_6 v_x v_y$$

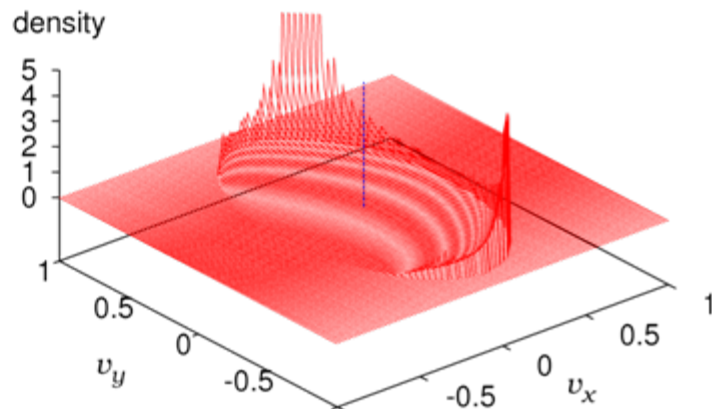
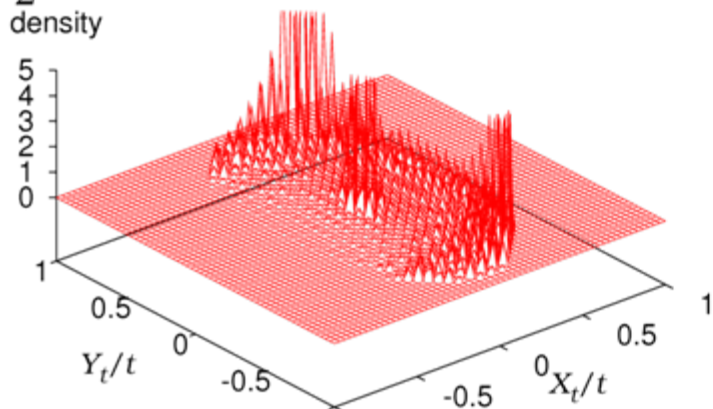
より以下のことが分かる.

- (1) $\mathcal{M}_3, \mathcal{M}_6 = 0 \rightarrow v_x$ 軸に対称な分布
- (2) $\mathcal{M}_2, \mathcal{M}_6 = 0 \rightarrow v_y$ 軸に対称な分布
- (3) $\mathcal{M}_2, \mathcal{M}_3, \mathcal{M}_6 = 0 \rightarrow v_x$ 軸, v_y 軸に対称な分布
- (4) $\mathcal{M}_2, \mathcal{M}_3 = 0 \rightarrow v_z$ 軸に対して2回回転対称な分布

3.3 計算機シミュレーションとの比較 ($p=\frac{1}{4}$ の場合)

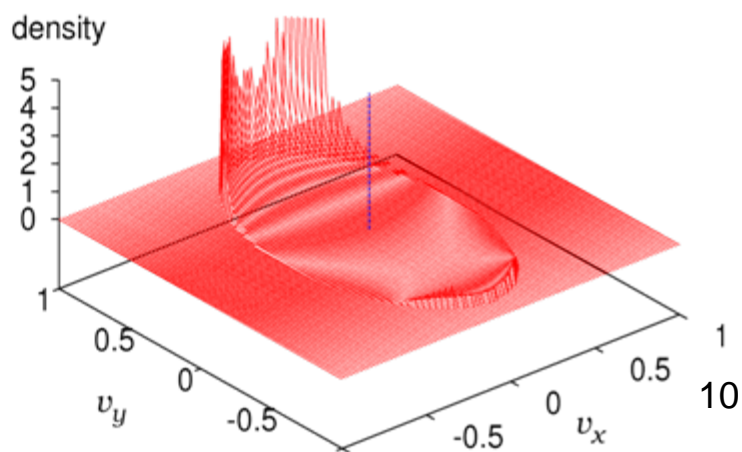
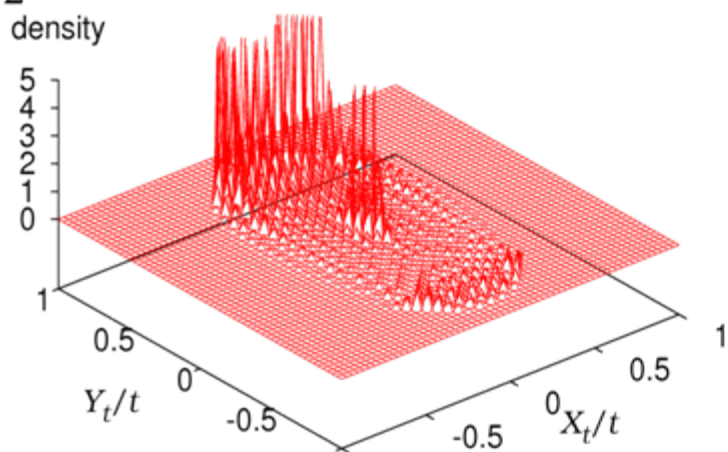
(a) v_x 軸に対称な分布

$${}^t\phi_0 = \frac{1}{2}(1, -1, 1, 1)$$



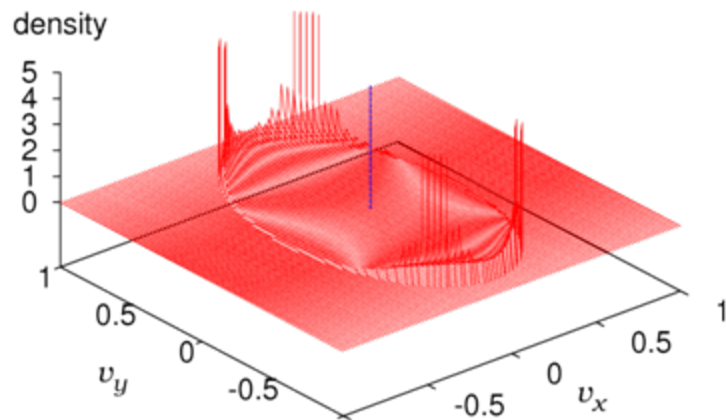
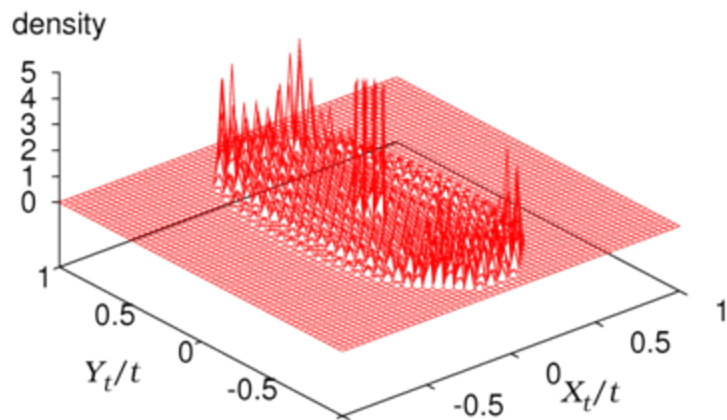
(b) v_y 軸に対称な分布

$${}^t\phi_0 = \frac{1}{2}(1, 1, 1, -1)$$



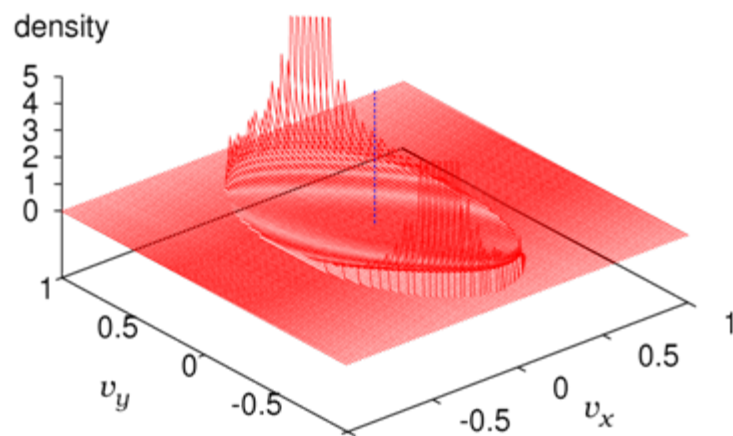
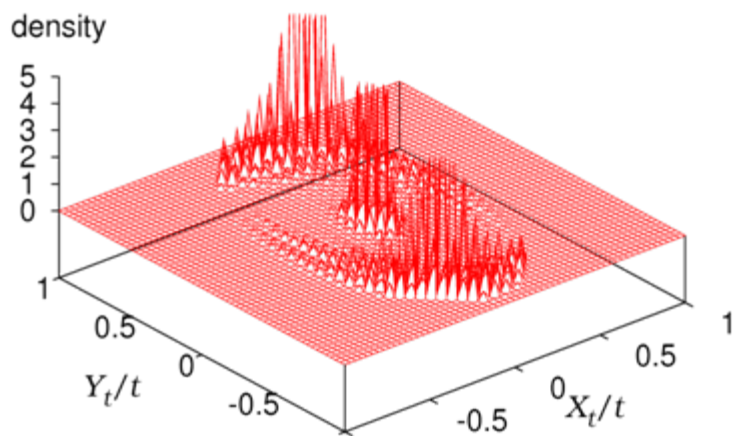
(c) v_x 軸にも v_y 軸にも対称な分布

$${}^t\phi_0 = \frac{1}{2}(1, 1, 0, 0)$$



(d) v_z 軸に2回回転対称な分布

$${}^t\phi_0 = \frac{1}{2}(1, -1, -1, 1)$$



3.4 原点近傍での局在確率

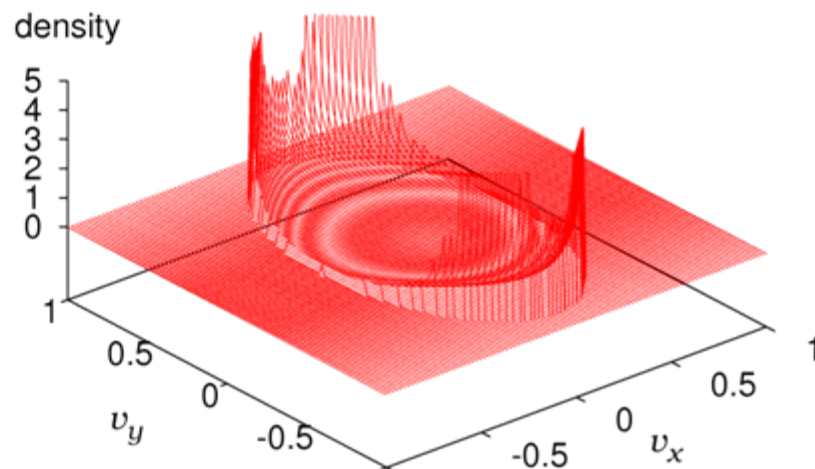
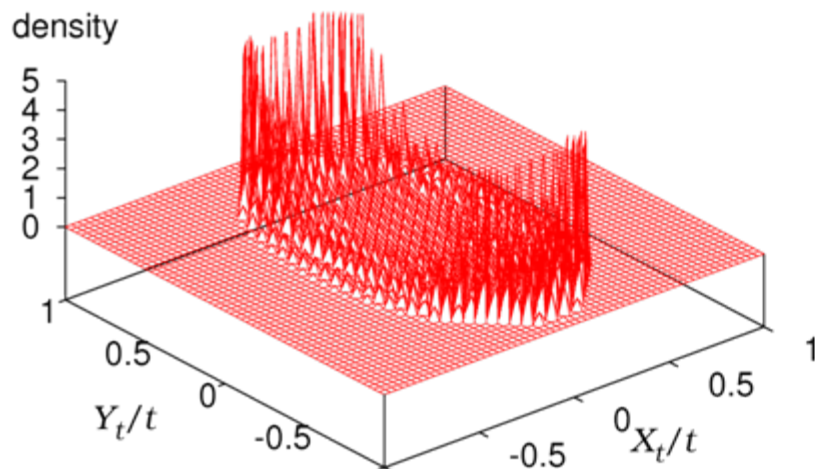
$$\Delta = 1 - \left\{ \mathcal{M}_1 + \frac{2}{\pi}(-\sqrt{pq} + \arcsin \sqrt{p})\mathcal{M}_4 + \frac{2}{\pi}(-\sqrt{pq} + \arcsin \sqrt{q})\mathcal{M}_5 \right\}$$

特に初期量子ビットを量子コインのパラメータに依存した

$$T\phi_0 = \left(\pm\sqrt{\frac{p}{2}}, \pm\sqrt{\frac{p}{2}}, \mp\sqrt{\frac{q}{2}}, \mp\sqrt{\frac{q}{2}} \right), \quad q = 1 - p$$

と選べば, $\mathcal{M}_1 = 1, \mathcal{M}_4 = \mathcal{M}_5 = 0$ なので $\Delta = 0$ である.

例: $p = \frac{1}{4}$ のとき \longrightarrow $t\phi_0 = \frac{1}{2\sqrt{2}}(1, 1, -\sqrt{3}, -\sqrt{3})$



§4 今後の展望

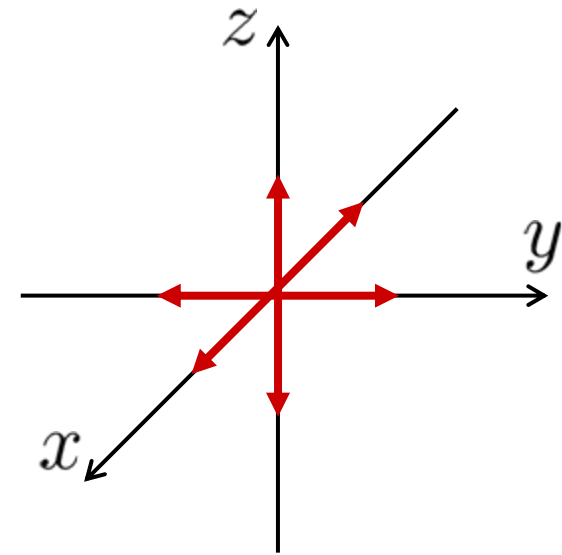
■ グローヴァーウォークを用いた D 次元立方体格子への拡張

D 次元立方体格子でのグローヴァーウォーク: $2D \times 2D$ の直交行列 $A^{(D)} = (A_{jk}^{(D)})$

$$A_{jk}^{(D)} = \begin{cases} 1/D - 1 & (j = k \text{ のとき}) \\ 1/D & (j \neq k \text{ のとき}) \end{cases}$$

$D = 3$ のとき

$$A^{(3)} = \frac{1}{3} \begin{pmatrix} -2 & 1 & 1 & 1 & 1 & 1 \\ 1 & -2 & 1 & 1 & 1 & 1 \\ 1 & 1 & -2 & 1 & 1 & 1 \\ 1 & 1 & 1 & -2 & 1 & 1 \\ 1 & 1 & 1 & 1 & -2 & 1 \\ 1 & 1 & 1 & 1 & 1 & -2 \end{pmatrix}$$



APPENDIX A: 計算の詳細

■ 時間発展行列 $V(k_x, k_y)$ の固有値・固有ベクトルと対角化


固有値 $\lambda_1 = 1, \quad \lambda_2 = -1, \quad \lambda_3 = e^{i\omega(k_x, k_y)} \quad \lambda_4 = e^{-i\omega(k_x, k_y)}$

ただし

$$\omega(k_x, k_y) = \arccos\{- (p \cos k_x + q \cos k_y)\}$$

固有ベクトル

$$\mathbf{v}_j(k_x, k_y) = N_j \begin{pmatrix} q(e^{ik_y} \lambda_j + 1)(e^{ik_x} \lambda_j + 1)(e^{-ik_y} \lambda_j + 1) \\ q(e^{ik_y} \lambda_j + 1)(e^{-ik_x} \lambda_j + 1)(e^{-ik_y} \lambda_j + 1) \\ \sqrt{pq}(e^{ik_y} \lambda_j + 1)(e^{-ik_x} \lambda_j + 1)(e^{ik_x} \lambda_j + 1) \\ \sqrt{pq}(e^{-ik_x} \lambda_j + 1)(e^{ik_x} \lambda_j + 1)(e^{-ik_y} \lambda_j + 1) \end{pmatrix}, \quad j = 1, 2, 3, 4$$

 $V(k_x, k_y) = R(k_x, k_y) \begin{pmatrix} \lambda_1 & 0 & 0 & 0 \\ 0 & \lambda_2 & 0 & 0 \\ 0 & 0 & \lambda_3 & 0 \\ 0 & 0 & 0 & \lambda_4 \end{pmatrix} R^\dagger(k_x, k_y)$

ただし $R \equiv (\mathbf{v}_1, \mathbf{v}_2, \mathbf{v}_3, \mathbf{v}_4)$

■ $\hat{\Psi}(k_x, k_y, t)$ の展開

$$\hat{\Psi}(k_x, k_y, t) = R(k_x, k_y) \begin{pmatrix} (\lambda_1)^t & 0 & 0 & 0 \\ 0 & (\lambda_2)^t & 0 & 0 \\ 0 & 0 & (\lambda_3)^t & 0 \\ 0 & 0 & 0 & (\lambda_4)^t \end{pmatrix} R^\dagger(k_x, k_y) \phi_0$$

$$= \sum_{j=1}^4 (\lambda_j)^t \mathbf{v}_j C_j(k_x, k_y)$$

ただし $C_j(k_x, k_y) \equiv \mathbf{v}_j^\dagger(k_x, k_y) \phi_0$

$$R^\dagger(k_x, k_y) = R^{-1}(k_x, k_y) \iff \mathbf{v}_j(k_x, k_y) \mathbf{v}_{j'}^\dagger(k_x, k_y) = \delta_{jj'}$$

$$\hat{\Psi}^\dagger(k_x, k_y, t) \left(i \frac{\partial}{\partial k_y} \right)^\beta \left(i \frac{\partial}{\partial k_x} \right)^\alpha \hat{\Psi}(k_x, k_y, t) = \left\{ (-1)^{\alpha+\beta} |C_3(k_x, k_y)|^2 + |C_4(k_x, k_y)|^2 \right\}$$

$$\times \left(\frac{\partial \omega(k_x, k_y)}{\partial k_y} \right)^\beta \left(\frac{\partial \omega(k_x, k_y)}{\partial k_x} \right)^\alpha t^{\alpha+\beta} + O(t^{\alpha+\beta-1})$$

■ 擬速度の結合モーメント

$$\langle X_t^\alpha Y_t^\beta \rangle = \int_{-\pi}^{\pi} \frac{dk_x}{2\pi} \int_{-\pi}^{\pi} \frac{dk_y}{2\pi} \hat{\Psi}^\dagger(k_x, k_y, t) \left(i \frac{\partial}{\partial k_x}\right)^\alpha \left(i \frac{\partial}{\partial k_y}\right)^\beta \hat{\Psi}(k_x, k_y, t)$$

$\alpha, \beta = 0, 1, 2, \dots$ に対して, 擬速度の結合モーメントは

$$\lim_{t \rightarrow \infty} \left\langle \left(\frac{X_t}{t}\right)^\alpha \left(\frac{Y_t}{t}\right)^\beta \right\rangle = \int_{-\pi}^{\pi} \frac{dk_x}{2\pi} \int_{-\pi}^{\pi} \frac{dk_y}{2\pi} \left\{ (-1)^{\alpha+\beta} |C_3(k_x, k_y)|^2 + |C_4(k_x, k_y)|^2 \right\} \left(\frac{\partial \omega(k_x, k_y)}{\partial k_y}\right)^\beta \left(\frac{\partial \omega(k_x, k_y)}{\partial k_x}\right)^\alpha$$

ただし

$$\frac{\partial \omega(k_x, k_y)}{\partial k_x} = -\frac{p \sin k_x}{\sqrt{1 - (p \cos k_x + q \cos k_y)^2}}, \quad \frac{\partial \omega(k_x, k_y)}{\partial k_y} = -\frac{q \sin k_y}{\sqrt{1 - (p \cos k_x + q \cos k_y)^2}}$$

積分変数を k_x, k_y から v_x, v_y へ変換

$$v_x = \frac{p \sin k_x}{\sqrt{1 - (p \cos k_x + q \cos k_y)^2}}, \quad v_y = \frac{q \sin k_y}{\sqrt{1 - (p \cos k_x + q \cos k_y)^2}}$$

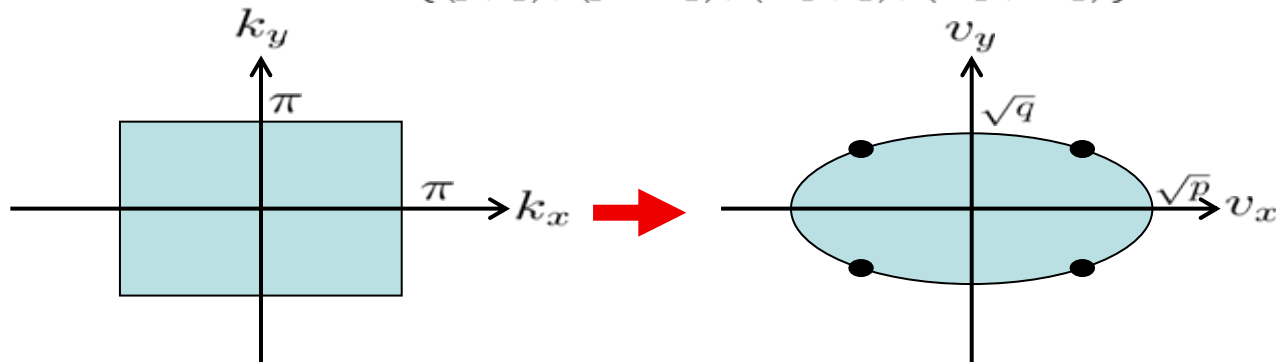
■ 逆写像 $(v_x, v_y) \mapsto (k_x, k_y)$ に関するヤコビアン

$$\begin{aligned} J &\equiv \begin{vmatrix} \partial v_x / \partial k_x & \partial v_x / \partial k_y \\ \partial v_y / \partial k_x & \partial v_y / \partial k_y \end{vmatrix} \\ &= \frac{|(v_x + v_y + 1)(v_x - v_y + 1)(v_x + v_y - 1)(v_x - v_y - 1)|}{4} \end{aligned}$$

■ 像 (i) 2対1の写像

(ii) その像は楕円 $\frac{v_x^2}{p} + \frac{v_y^2}{q} = 1$ の内部と

楕円上の4点 $\{(p, q), (p - q), (-p, q), (-p, -q)\}$



$$\begin{aligned}
\lim_{t \rightarrow \infty} \left\langle \left(\frac{X_t}{t} \right)^\alpha \left(\frac{Y_t}{t} \right)^\beta \right\rangle &= 2 \int_{-\infty}^{\infty} \frac{dv_x}{2\pi} \int_{-\infty}^{\infty} \frac{dv_y}{2\pi} v_x^\alpha v_y^\beta \\
&\times \left\{ |\hat{C}_3(v_x, v_y)|^2 + (-1)^{\alpha+\beta} |\hat{C}_4(v_x, v_y)|^2 \right\} \frac{1}{\mathbf{J}} \times \mathbf{1}_{\{v_x^2/p + v_y^2/q < 1\}} \\
&= 2 \int_{-\infty}^{\infty} \frac{dv_x}{2\pi} \int_{-\infty}^{\infty} \frac{dv_y}{2\pi} \frac{1}{\mathbf{J}} \mathcal{M}(v_x, v_y) v_x^\alpha v_y^\beta \times \mathbf{1}_{\{v_x^2/p + v_y^2/q < 1\}} \\
&= \int_{-\infty}^{\infty} dv_x \int_{-\infty}^{\infty} dv_y v_x^\alpha v_y^\beta \mu_p(v_x, v_y) \mathcal{M}(v_x, v_y)
\end{aligned}$$

ただし,

$$\mu_p(v_x, v_y) = \frac{2}{\pi^2 (v_x + v_y + 1)(v_x - v_y + 1)(v_x + v_y - 1)(v_x - v_y - 1)} \mathbf{1}_{\left\{ \frac{v_x^2}{p} + \frac{v_y^2}{q} < 1 \right\}}$$